

佐賀大学 理工学部 正会員 ○鬼塚克忠  
ク ク ク 吉武茂樹

1. まえがき 締固めた土の  $K_0$  値は飽和土と異なり、含水状態の変化に伴って経時に変化する。また締固めた土は一般に過圧密土であり、 $K_0$  値は過圧密比と密接な関係にある。このような締固めた土の  $K_0$  値測定には、通常砂や飽和粘土を対象にして行われる試験、すなわち供試体の直径を一定に保ちながら圧縮する三軸圧縮 ( $K_0$  圧密) 試験は不適当である。そこでゴムのダイヤフラムを利用して  $K_0$  値測定装置を試作し、測定方法や試験結果の一部については既に報告している。<sup>(1)</sup> 今回は盛土として多用されるまさ土を試料に選び、周面摩擦、 $K_0$  値に及ぼす水浸の影響、 $K_0$  値と含水比の関係、 $K_0$  値と過圧密比の関係等について論じるものである。

2. 試験方法 2.1 試験装置の特徴 試験装置を Fig.1 に示す。詳細については既に報告<sup>(1)</sup> されている。この試験装置により、締固めた土の正規圧密および過圧密領域の  $K_0$  値を求めることができる。繰返した飽和粘土の  $K_0$  値も測定可能である。また  $K_0$  値に及ぼす水浸の影響も明らかにすることができる。これらの測定は通常三軸室内で実施される  $K_0$  値測定に較べて極めて簡単である。

2.2 試料 佐賀郡川上で採取したまさ土を用いた。 $G_s = 2.64$ 、コンシステンシーは NP、粒度分布はレキ分 22%、砂分 61%、シルト分 11%、粘土分 6% である。試験には 2 mm 以下を使用した。

2.3 試験の手順 初期含水比を調整した試料をできるだけ緩く容器 (Fig.1) に詰める。これを所定の荷重まで段階的に載荷し、続いて一荷重ずつ除荷する。載荷・除荷時間はともに 20 分間である。一部試料については、試料セット後、あるいは正規圧密および過圧密領域で給水し、 $K_0$  値に及ぼす水浸の影響を調べた。

3. 周面摩擦 本試験装置では周面摩擦を無視することができない。これを調べるために、 $K_0$  値測定装置の下部に直径 6 mm の受圧面の土圧計を埋めこんだ。載荷・除荷時における試料上端と下端の鉛直応力をそれぞれ  $\sigma_{vo}'$  と  $\sigma_{ve}'$  とし、これらの測定結果の一例を Fig.2 に示した。標準圧密試験での周面摩擦  $Af_r' = \sigma_{vo}' - \sigma_{ve}'$  は  $\sigma_{vo}'$  の 10~20% 程度であると言われている。本試験ではシリコングリスを塗つて周面摩擦の低

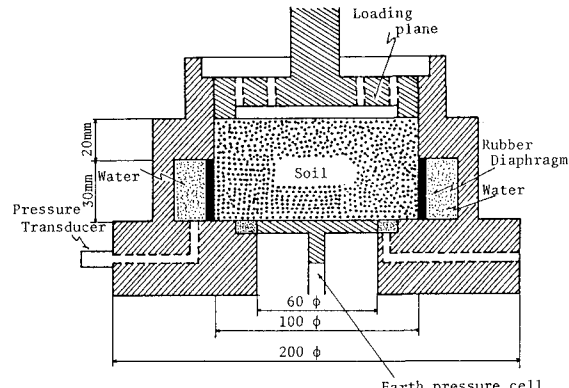
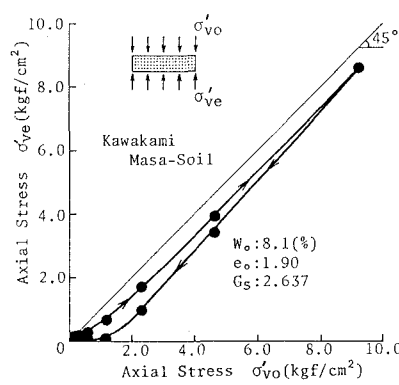
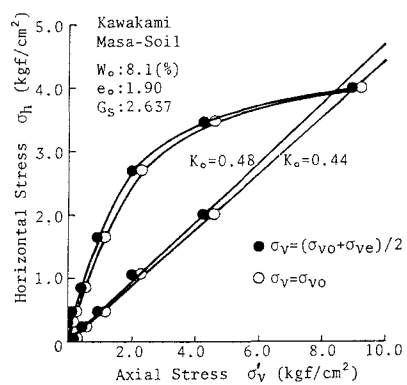


Fig.1 Assembly of test cell

Fig.2 Relation between  $\sigma'_{ve}$  and  $\sigma'_{vo}$ Fig.3 Relation between horizontal stress  $\sigma_h$  and axial stress  $\sigma'_V$

減を試みたが、鉛直応力が小さいときに周面摩擦の占める割合がかなり大きい。Fig.3では正規圧密および過圧密領域における鉛直応力 $\sigma'_v$ と水平応力 $\sigma'_h$ の関係を示した。同図に示すように、試料上端と下端の鉛直応力の平均値 $(\sigma'_v + \sigma'_h)/2$ でプロットした方が $K_0$ 値は大きく、かつ精度は高い。以後、平均鉛直応力で $K_0$ 値を求めることにする。

#### 4. まさ土の $K_0$ 値 4.1 $K_0$ 値に及ぼす水浸の影響

Fig.4に正規圧密領域における水浸の影響を示した。水浸すると、メニスカス消失により粒子間圧縮力が低下し、さらに潤滑作用の影響でせん断抵抗は低減する。このため収縮が生じる。土構造は水浸により弱化し、水平応力 $\sigma'_h$ は増大する。水浸後の $K_0$ 値は増大する。過圧密領域すなわち除荷段階で水浸すると、正規圧密領域と較べると小さいが沈下する。一方水平応力 $\sigma'_h$ は正規圧密領域とは逆に減少している。過圧密領域の因は省いたが、 $\sigma'_h$ の減少のメカニズムは不明である。

4.2  $K_0$ 値と含水比・圧縮指数の関係 まさ土の $K_0$ 値と含水比の関係を示したのがFig.5である。予想に反し、最適含水比前後で $K_0$ 値はピーケーを示している。既に発表した白色粘土とは逆の傾向にある。現在、検討中である。圧縮指数に対してプロットするとFig.6のようになる。圧縮しやすい土ほど $K_0$ 値が大きいと言えよう。

4.3  $K_0$ 値と過圧密比の関係  $K_0$ 値を $\log OCR$ に対しプロットすると直線関係にある。正規圧密領域の $K_0$ 値を $(K_0)_{N.C.}$ 、過圧密領域のそれを $(K_0)_{O.C.}$ とすると、 $(K_0)_{O.C.} = (K_0)_{N.C.} + M \log OCR$

となる。ここに $M$ は $(K_0)_{O.C.} - \log OCR$ の傾きである。まさ土の場合ほぼ $1.5 \sim 1.8$ である。含水比の影響を受けないようである。

謝辞 本学卒業生古賀尚幸君にご

協力いただきました。Fig.5 Relation between  $K_0$  value and water content  $W_o$ .

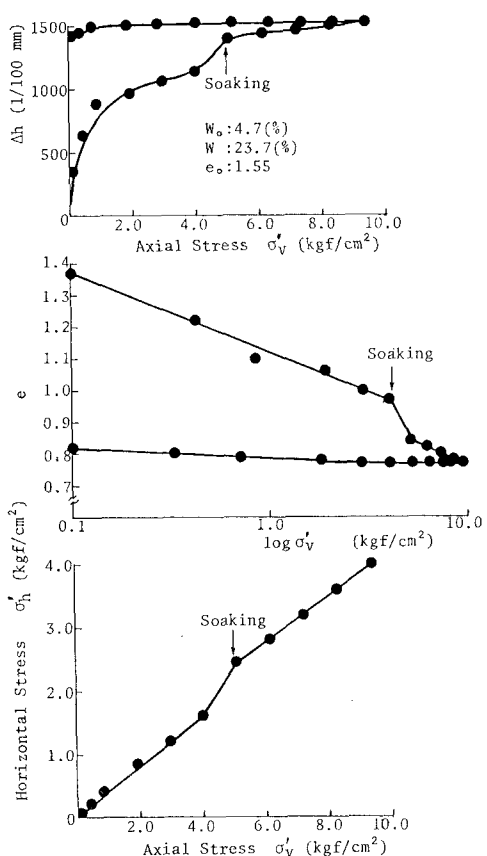


Fig.4 Influence of soaking on settlement  $\Delta h$ , void ratio  $e$  and horizontal stress  $\sigma'_h$

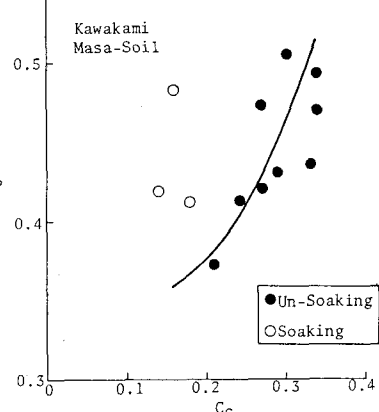
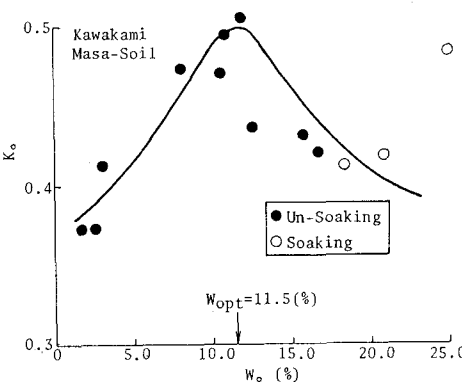


Fig.6 Relation between  $K_0$  value and compression index  $C_c$

## 参考文献

- 鬼塚克忠・吉武茂樹：補固めた不飽和土の $K_0$ 値測定について（摘要），第37回年次学術講演会概要集，第3部，土木学会，PP147～148，1982
- 鬼塚克忠・古賀尚幸：補固めた不飽和土の $K_0$ 値測定について（第3報），昭和57年度土木学会西部支部研究発表会講演概要集，PP370～371，1983